

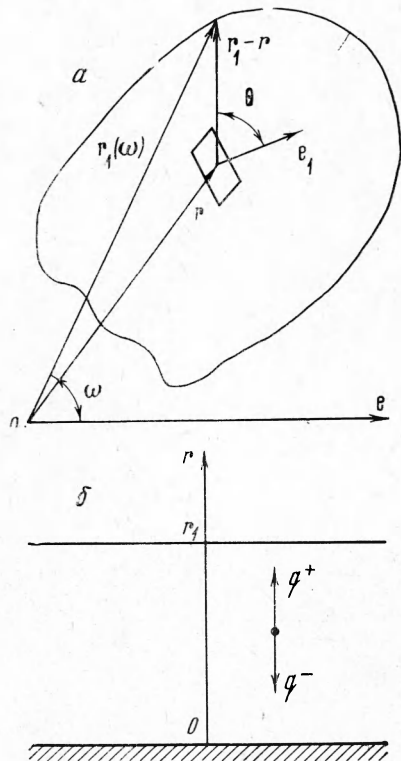
МЕТОД ЭФФЕКТИВНЫХ СЕЧЕНИЙ ДЛЯ УЧЕТА СЕЛЕКТИВНОСТИ ИЗЛУЧЕНИЯ И ПОГЛОЩЕНИЯ В ГОРЯЧЕМ ГАЗЕ

В. М. Овсянников

(Москва)

Излагается экономичный по времени счета метод решения задач переноса излучения, использующий интегральные характеристики спектра поглощения — эффективные сечения. Произведены расчеты ударного слоя перед телом, обтекаемым гиперзвуковым потоком газа, при наличии интенсивной подачи массы с поверхности. В расчетных примерах машинное время счета сократилось примерно в 120 раз по сравнению с точным расчетом, а погрешность вычисления радиационных потоков не превышает 15—25%.

1. Метод эффективных сечений. Рассмотрим перенос излучения в области, заполненной селективно излучающим и поглощающим горячим газом. Рассеяние не учитываем. В предположении локального термодинамического равновесия испускания излучения радиационный поток и его дивергенция в точке с координатой \mathbf{r} имеют вид



Фиг. 1

точка границы излучающего объема, k_λ — приведенный объемный коэффициент поглощения с учетом вынужденного испускания, σ_λ — сечение поглощения, $B_\lambda(T)$ — функция Планка равновесного излучения, π — отношение длины окружности к диаметру.

$$q(\mathbf{r}) = \int_{(\omega)} d\omega \cos \theta \int_{(\Delta\lambda)} d\lambda \int_r^{r_1(\omega)} B_\lambda(T(\mathbf{r}')) \exp[-t_\lambda(\mathbf{r}, \mathbf{r}')] N(\mathbf{r}') \sigma_\lambda(\mathbf{r}') d\mathbf{r}'$$

$$\text{div } q(\mathbf{r}) = \int_{(\Delta\lambda)} d\lambda k_\lambda(\mathbf{r}) \left\{ \int_{(\omega)} d\omega \int_r^{r_1(\omega)} B_\lambda(T(\mathbf{r}')) \exp[-t_\lambda(\mathbf{r}, \mathbf{r}')] \times \right.$$

$$\left. \times N(\mathbf{r}') \sigma_\lambda(\mathbf{r}') d\mathbf{r}' - 4\pi B_\lambda(T(\mathbf{r})) \right\} \quad (1.1)$$

$$t_\lambda(\mathbf{r}, \mathbf{r}') = \int_r^{r'} N(\mathbf{r}'') \sigma_\lambda(\mathbf{r}'') d\mathbf{r}''$$

Здесь $d\mathbf{r}''$ — дифференциал длины вдоль луча $(\mathbf{r}, \mathbf{r}')$, λ — длина волны, $(\Delta\lambda)$ — интервал длин волн, в котором необходимо учитывать излучение, T — температура, N — число частиц в единице объема, ω — пространственный угол, отсчитываемый от начального направления \mathbf{e} (см. фиг. 1, а), θ — угол между направлением луча и нормалью \mathbf{e}_1 к рассматриваемой площадке, $\mathbf{r}_1(\omega)$ —

Для газовых смесей, нагретых до температур 2000—20000° К, сечение поглощения σ_λ является сложной функцией длины волны, содержащей непрерывный спектр, молекулярные полосы, линии атомов и ионов. Сечение поглощения смеси зависит от концентрации компонент, а для каждой компоненты является функцией температуры и других параметров. Интегрирование по длине волны должно проводиться с мелким шагом, поэтому использование формул (1.1) приводит к большим затратам машинного времени.

В методе эффективных сечений интегрирование по λ проводится заранее, отдельно от вычисления поля радиационных потоков. Введем эффективные сечения s , σ , ε

$$\begin{aligned} s(\mathbf{r}, \mathbf{r}') &= s(T(\mathbf{r}'), N(\mathbf{r} \div \mathbf{r}'), \sigma_\lambda(\mathbf{r} \div \mathbf{r}')) = \\ &= \int_{(\Delta\lambda)} d\lambda B_\lambda^\circ(T(\mathbf{r}')) \sigma_\lambda(\mathbf{r}') \sigma_\lambda(\mathbf{r}) \exp \left[- \int_{\mathbf{r}}^{\mathbf{r}'} N(\mathbf{r}'') \sigma_\lambda(\mathbf{r}'') d\mathbf{r}'' \right] \\ \sigma(\mathbf{r}, \mathbf{r}') &= \sigma(T(\mathbf{r}'), N(\mathbf{r} \div \mathbf{r}'), \sigma_\lambda(\mathbf{r} \div \mathbf{r}')) = \\ &= \int_{(\Delta\lambda)} d\lambda B_\lambda^\circ(T(\mathbf{r}')) \sigma_\lambda(\mathbf{r}') \exp \left[- \int_{\mathbf{r}}^{\mathbf{r}'} N(\mathbf{r}'') \sigma_\lambda(\mathbf{r}'') d\mathbf{r}'' \right] \end{aligned} \quad (1.2)$$

$$\begin{aligned} \varepsilon(T, N(\mathbf{r} \div \mathbf{r}'), \sigma_\lambda(\mathbf{r} \div \mathbf{r}')) &= \int_{(\Delta\lambda)} d\lambda B_\lambda^\circ(T) \left\{ 1 - \exp \left[- \int_{\mathbf{r}}^{\mathbf{r}'} N(\mathbf{r}'') \sigma_\lambda(\mathbf{r}'') d\mathbf{r}'' \right] \right\} \\ B_\lambda^\circ(T) &= B_\lambda(T) / B(T), \quad B(T) = (\sigma^\circ / \pi) T^4 \end{aligned}$$

где σ° — постоянная Стефана — Больцмана. Радиационный поток и его дивергенция (1.1) выражаются через эффективные сечения

$$\begin{aligned} q(\mathbf{r}) &= \int_{(\omega)} d\omega \cos \theta \int_{\mathbf{r}}^{\mathbf{r}_1(\omega)} B(T(\mathbf{r}')) \sigma(\mathbf{r}, \mathbf{r}') N(\mathbf{r}') d\mathbf{r}' \\ \operatorname{div} q(\mathbf{r}) &= N(\mathbf{r}) \int_{(\omega)} d\omega \int_{\mathbf{r}}^{\mathbf{r}_1(\omega)} B(T(\mathbf{r}')) s(\mathbf{r}, \mathbf{r}') N(\mathbf{r}') d\mathbf{r}' - 4\pi B(T(\mathbf{r})) \sigma_p(\mathbf{r}) N(\mathbf{r}) \\ \sigma_p(\mathbf{r}) &= \sigma_p(T(\mathbf{r}), \sigma_\lambda(\mathbf{r})) = \int_{(\Delta\lambda)} d\lambda B_\lambda^\circ(T(\mathbf{r})) \sigma_\lambda(\mathbf{r}) \end{aligned} \quad (1.3)$$

Здесь σ_p — среднее сечение поглощения Планка. Сечение поглощения ε будет введено в выражение для радиационного потока в п. 2. В формулах (1.3) интегрирования по длине волны нет, поэтому их применение дает большую экономию времени счета по сравнению с использованием формул (1.1). Информация о спектральной характеристике газа содержится в эффективных сечениях, которые связаны между собой соотношениями

$$\frac{d\varepsilon(T, \mathbf{r} \div \mathbf{r}')}{d\mathbf{r}'} = N(\mathbf{r}') \sigma(T, \mathbf{r} \div \mathbf{r}'), \quad \frac{d\sigma(\mathbf{r}, \mathbf{r}')}{d\mathbf{r}} = -N(\mathbf{r}) s(\mathbf{r}, \mathbf{r}') \quad (1.4)$$

$$\varepsilon(T, \mathbf{r} \div \mathbf{r}') = \int_{\mathbf{r}}^{\mathbf{r}'} \sigma(T, \mathbf{r} \div \mathbf{r}'') N(\mathbf{r}'') d\mathbf{r}'', \quad \sigma(\mathbf{r}, \mathbf{r}') = \sigma_p(\mathbf{r}') - \int_{\mathbf{r}}^{\mathbf{r}'} s(\mathbf{r}'', \mathbf{r}') N(\mathbf{r}'') d\mathbf{r}''$$

В общем случае, когда сечение поглощения σ_λ произвольно меняется по координате \mathbf{r} , эффективные сечения s , σ , ε представляют собой функции, зависящие от функций N и σ_λ на интервале $(\mathbf{r}, \mathbf{r}')$ и от температуры

в точке \mathbf{r}' . Для зависимости сечения поглощения от координаты определенного вида эффективные сечения являются функциями и могут быть вычислены заранее.

Пусть сечение поглощения является функцией длины волны и температуры вида

$$\sigma_\lambda(T) = \sum_{k=1}^{\kappa} \psi_k(T) S_k(\lambda) \quad (1.5)$$

Например, если сечение поглощения σ_λ задано при температурах T_1, \dots, T_κ , а для получения значений σ_λ при промежуточных температурах $T_k < T < T_{k+1}$ ($k = 1, \dots, \kappa - 1$) используется линейная интерполяция по значениям $\sigma_\lambda(T_k)$ и $\sigma_\lambda(T_{k+1})$, то

$$S_k(\lambda) = \sigma_\lambda(T_k) \quad (k = 1, \dots, \kappa) \quad (1.6)$$

$$\begin{aligned} \psi_k &= (T_{k+1} - T) / (T_{k+1} - T_k) \quad \text{для } T_k \leq T < T_{k+1} \\ \psi_k &= (T - T_{k-1}) / (T_k - T_{k-1}) \quad \text{для } T_{k-1} < T < T_k \\ \psi_k &= 0 \quad \text{для } T \leq T_{k-1}, \quad T \geq T_{k+1} \quad (k = 2, \dots, \kappa - 1) \end{aligned} \quad (1.7)$$

$$\begin{aligned} \psi_1 &= (T_2 - T) / (T_2 - T_1) \quad \text{для } T_1 < T < T_2, \\ \psi_1 &= 1 \quad \text{для } T \leq T_1, \quad \psi_1 = 0, \quad \text{для } T \geq T_2 \end{aligned} \quad (1.8)$$

$$\begin{aligned} \psi_\kappa &= (T - T_{\kappa-1}) / (T_\kappa - T_{\kappa-1}) \quad \text{для } T_{\kappa-1} < T, \\ \psi_\kappa &= 0 \quad \text{для } T \leq T_{\kappa-1}, \quad \psi_\kappa = 1 \quad \text{для } T \geq T_\kappa \end{aligned}$$

Введем функции $n_k(\mathbf{r}, \mathbf{r}')$, равные числу частиц, наделенных сечением поглощения $\sigma_\lambda(T_k)$, на луче $(\mathbf{r}, \mathbf{r}')$ с единичным поперечным сечением

$$\begin{aligned} n_k(\mathbf{r}, \mathbf{r}') &= \int_{\mathbf{r}}^{\mathbf{r}'} N(\mathbf{r}'') \psi_k(T(\mathbf{r}'')) d\mathbf{r}'' \\ t_\lambda(\mathbf{r}', \mathbf{r}) &= \int_{\mathbf{r}}^{\mathbf{r}'} N(\mathbf{r}'') \sigma_\lambda(T(\mathbf{r}'')) d\mathbf{r}'' = \sum_{k=1}^{\kappa} S_k(\lambda) n_k(\mathbf{r}, \mathbf{r}') \end{aligned}$$

Выражения для $q(\mathbf{r})$, $\text{div } q(\mathbf{r})$ (1.3) и эффективных сечений (1.2) примут вид

$$q(\mathbf{r}) = \int_{(\omega)} d\omega \cos \theta \sum_{k=1}^{\kappa} \int_{\mathbf{r}}^{\mathbf{r}_1(\omega)} B(T(\mathbf{r}')) \sigma_k(T(\mathbf{r}'), n_1(\mathbf{r}, \mathbf{r}'), \dots, n_\kappa(\mathbf{r}, \mathbf{r}')) dn_k(\mathbf{r}') \quad (1.9)$$

$$\begin{aligned} \text{div } q(\mathbf{r}) &= \sum_{k=1}^{\kappa} N(\mathbf{r}) \psi_k(T(\mathbf{r})) \left\{ \int_{(\omega)} d\omega \sum_{i=1}^{\kappa} \int_{\mathbf{r}}^{\mathbf{r}_1(\omega)} dn_i(\mathbf{r}') B(T(\mathbf{r}')) \times \right. \\ &\times s_{ki}(T(\mathbf{r}'), n_1(\mathbf{r}, \mathbf{r}'), \dots, n_\kappa(\mathbf{r}, \mathbf{r}')) - 4\pi B(T(\mathbf{r})) \sigma_k(T(\mathbf{r}), 0, \dots, 0) \left. \right\}, \end{aligned}$$

$$dn_k(\mathbf{r}') = N(\mathbf{r}') \psi_k(T(\mathbf{r}')) d\mathbf{r}'$$

$$s_{ki}(T, n_1, \dots, n_\kappa) = \int_{(\Delta\lambda)} d\lambda B_\lambda^\circ(T) S_k(\lambda) S_i(\lambda) \exp\left(-\sum_{j=1}^{\kappa} S_j(\lambda) n_j\right)$$

$$\sigma_k(T, n_1, \dots, n_\kappa) = \int_{(\Delta\lambda)} d\lambda B_\lambda^\circ(T) S_k(\lambda) \exp\left(-\sum_{j=1}^{\kappa} S_j(\lambda) n_j\right) \quad (1.10)$$

$$\varepsilon(T, n_1, \dots, n_\kappa) = \int_{(\Delta\lambda)} d\lambda B_\lambda^\circ(T) \left[1 - \exp\left(-\sum_{j=1}^{\kappa} S_j(\lambda) n_j\right)\right]$$

Для однородного газа, с σ_λ не зависящим от температуры, $n_1(r, r')$ представляет собой число частиц на отрезке (r, r') луча с единичным поперечным сечением. Если температура T в рассматриваемой области постоянна, то $\varepsilon(T, n_1)$ представляет собой степень черноты конуса с единичным телесным углом, для которого луч с единичным поперечным сечением, направленный вдоль высоты, содержит n_1 частиц. Эффективное сечение $\sigma(T, n_1)$ согласно первому соотношению (1.4) равно изменению степени черноты указанного конуса при изменении n_1 на единицу. При $n_1 = 0$ значение $\sigma(T, 0)$ равно среднему сечению поглощения Планка.

Для характеристики оптических свойств газа достаточно знать одну из трех функций: s , σ , ε , а остальные получать используя соотношения (1.4). Однако, чтобы избежать погрешностей, связанных с преобразованием функции, заданной в дискретных точках, надо вычислять каждое эффективное сечение по формулам (1.10).

Число функций от длины волны $S_k(\lambda)$, используемых для построения оптической модели (1.5) однородного газа, назовем порядком приближения к методу эффективных сечений. Первое приближение метода было предложено в работах Томсона, Пеннера, изложено в книге [1] и использовалось в ряде работ для расчета плоского излучающего слоя.

2. Плоский слой. Рассмотрим плоский слой газа с одномерным распределением температуры. Начало координат лежит на границе слоя (см. фиг. 1, б). Выражения для радиационного потока q , его дивергенции и односторонних потоков q^+ , q^-

$$q(r) = q^+(r) - q^-(r)$$

$$q^+(r) = \int_{(\Delta\lambda)} d\lambda \int_0^r B_\lambda(T(r')) 2E_2[t_\lambda(r', r)] N(r') \sigma_\lambda(r') dr'$$

$$q^-(r) = \int_{(\Delta\lambda)} d\lambda \int_r^{r_1} B_\lambda(T(r')) 2E_2[t_\lambda(r, r')] N(r') \sigma_\lambda(r') dr'$$

$$\text{div } q(r) = \int_{(\Delta\lambda)} d\lambda k_\lambda(r) \left\{ \int_0^{r_1} \pi B_\lambda(T(r')) 2E_1[t_\lambda(r, r')] N(r') \sigma_\lambda(r') dr' - \right.$$

$$\left. - 4\pi B_\lambda(T(r)) \right\}$$

в предположении (1.5) примут вид

$$q^-(r) = \pi B(T(r)) \varepsilon^*(T(r), n_1(r, r+\delta), \dots, n_x(r, r+\delta)) +$$

$$+ \sum_{k=1}^x \int_{r+\delta}^{r_1} \pi B(T(r')) \sigma_k^*(T(r'), n_1(r, r'), \dots, n_x(r, r')) dn_k(r') \quad (2.1)$$

$$q^+(r) = \pi B(T(r)) \varepsilon^*(T(r), n_1(r-\delta, r), \dots, n_x(r-\delta, r)) +$$

$$+ \sum_{k=1}^x \int_0^{r-\delta} \pi B(T(r')) \sigma_k^*(T(r'), n_1(r, r'), \dots, n_x(r, r')) dn_k(r')$$

$$\text{div } q(r) = -2\pi B(T(r)) N(r) \sum_{k=1}^x \psi_k(T(r)) \sigma_k^*(T(r), n_1(r, r+\delta), \dots, n_x(r, r+\delta))$$

$$+ N(r) \left\{ \int_0^{r-\delta} \pi B(T(r')) \sum_{k=1}^x \psi_k(T(r)) \sum_{i=1}^x s_{ki}^*(T(r'), n_1(r, r'), \dots, \right.$$

$$\left. \dots, n_x(r, r')) dn_i(r') + \int_{r+\delta}^{r_1} \pi B(T(r')) \sum_{k=1}^x \psi_k(T(r)) \sum_{i=1}^x s_{ki}^*(T(r'), n_1(r, r'), \dots, \right.$$

$$\left. \dots, n_x(r, r')) dn_i(r') \right\} \quad (2.2)$$

Эффективные сечения в плоском случае равны

$$\begin{aligned} s_{ki}^* (T, n_1, \dots, n_\kappa) &= \int_{(\Delta\lambda)} d\lambda B_{\lambda^\circ} (T) S_k (\lambda) S_i (\lambda) 2E_1 \left(\sum_{j=1}^{\kappa} S_j (\lambda) n_j \right) \\ \sigma_k^* (T, n_1, \dots, n_\kappa) &= \int_{(\Delta\lambda)} d\lambda B_{\lambda^\circ} (T) S_k (\lambda) 2E_2 \left(\sum_{j=1}^{\kappa} S_j (\lambda) n_j \right) \\ \varepsilon^* (T, n_1, \dots, n_\kappa) &= \int_{(\Delta\lambda)} d\lambda B_{\lambda^\circ} (T) \left[1 - 2E_3 \left(\sum_{j=1}^{\kappa} S_j (\lambda) n_j \right) \right] \end{aligned} \quad (2.3)$$

Здесь E_1 , E_2 , E_3 — интегральные показательные функции первого, второго и третьего порядка.

При выводе формул (2.1), (2.2) предполагалось, что температура достаточно плавно меняется по координате r , так что в точках, отстоящих друг от друга на расстояние δ , функция Планка $B_\lambda (T)$ в пределах допустимой погрешности может считаться не зависящей от координаты. В формулах для q^- , q^+ (2.1) первый член в правой части равенств представляет собой излучение от изотермического плоского слоя толщиной δ . Использование ε^* в (2.1) и σ_k^* ($k = 1, \dots, \kappa$) в (2.2) позволяет сократить объем таблиц эффективных сечений, необходимых для решения задачи. В формулах (1.9) эффективные сечения необходимо знать для значений n_k , соответствующих интервалам от 0 до максимального размера области, который обозначим через d . В формулах (2.1), (2.2) употребляются эффективные сечения для значений n_k , соответствующих меньшим интервалам от δ до d . Обычно в задачах переноса излучения отношение d / δ составляет $10 \div 40$, поэтому эффективные сечения необходимо знать при изменении n_k примерно в $10 \div 40$ раз.

Соотношения (1.4) для плоского слоя в предположении (1.5) принимают вид

$$\begin{aligned} \partial \varepsilon^* / \partial n_k &= \sigma_k^*, \quad \partial \sigma_k^* / \partial n_i = -s_{ki}^* \\ \sigma_k^* &= \left[\sigma_k^* (T, 0, \dots, 0) - \sum_{i=1}^{\kappa} \int_0^{n_i} s_{ik}^* dn_i \right], \quad \varepsilon^* = \sum_{k=1}^{\kappa} \int_0^{n_k} \sigma_k^* dn_k \quad (k = 1, \dots, \kappa) \end{aligned}$$

3. Многокомпонентная смесь. Пусть смесь содержит κ компонент с молярной концентрацией x_k ($k = 1, \dots, \kappa$). Зависимость от температуры сечения поглощения каждой компоненты $\sigma_{\lambda k}$ ($k = 1, \dots, \kappa$) представим в виде

$$\sigma_{\lambda k} (T) = \varphi_k (T) S_k (\lambda)$$

т. е. воспользуемся предположением первого приближения метода эффективных сечений для однородного газа. Пусть сечение поглощения смеси вычисляется по формуле

$$\sigma_\lambda (T, x_1, \dots, x_\kappa) = \sum_{k=1}^{\kappa} x_k \sigma_{\lambda k} (T)$$

Если число частиц, наделенных сечением поглощения $S_k (\lambda)$, на луче (r, r') с единичным поперечным сечением вычислять как

$$n_k (r, r') = \int_r^{r'} N (r'') x_k (r'') \varphi_k (T (r'')) dr'' \quad (k = 1, \dots, \kappa)$$

то радиационный поток и его дивергенцию в многокомпонентной смеси можно вычислять по формулам κ -го приближения однородного газа (1.9), (1.10) в пространственном и (2.1)—(2.3) в плоском случаях, если в них положить $\psi_k = x_k \varphi_k (T)$

4. Численные расчеты ударного слоя. Были вычислены эффективные сечения для непрерывного спектра воздуха в первом и втором приближениях. Коэффициенты поглощения брались из книги [2].

В табл. 1 приведены эффективные сечения воздуха в первом приближении для плоского слоя в форме $a \cdot 10^b$.

Сечение поглощения считалось не зависящим от температуры и равным сечению поглощения при температуре 12000° К и давлении 1 атм.

Таблица 1

$10^{-18}n_1$, с.м ⁻²	Т, °К										
	9000		10000		11000		12000		13000		
	a	b	a	b	a	b	a	b	a	b	
10^{-2}	0.572	-2	0.235	-1	0.740	-1	0.190	0	0.421	0	$10^{36}s^*$, с.м ⁴
10^1	0.169	-2	0.626	-2	0.181	-1	0.436	-1	0.909	-1	
1	0.227	-3	0.425	-3	0.879	-3	0.171	-2	0.300	-2	
10	0.518	-4	0.434	-4	0.386	-4	0.373	-4	0.392	-4	
10^2	0.653	-5	0.553	-5	0.475	-5	0.412	-5	0.364	-5	
10^3	0.289	-6	0.282	-6	0.274	-6	0.265	-6	0.256	-6	
10^4	0.510	-9	0.644	-9	0.772	-9	0.889	-9	0.990	-9	
0	0.463	-2	0.620	-2	0.111	-1	0.219	-1	0.420	-1	$10^{18}\sigma^*$, с.м ²
10^{-4}	0.463	-2	0.619	-2	0.111	-1	0.218	-1	0.419	-1	
10^{-3}	0.462	-2	0.615	-2	0.109	-1	0.215	-1	0.411	-1	
10^{-2}	0.455	-2	0.588	-2	0.101	-1	0.193	-1	0.362	-1	
10^{-1}	0.426	-2	0.482	-2	0.692	-2	0.115	-1	0.194	-1	
1	0.374	-2	0.346	-2	0.351	-2	0.396	-2	0.486	-2	
10	0.288	-2	0.252	-2	0.223	-2	0.200	-2	0.182	-2	
10^2	0.140	-2	0.129	-2	0.120	-2	0.111	-2	0.104	-2	
10^3	0.240	-3	0.250	-3	0.256	-3	0.261	-3	0.263	-3	
10^4	0.119	-5	0.153	-5	0.187	-5	0.218	-5	0.246	-5	
0	0	0	0	0	0	0	0	0	0	0	ε^*
10^{-4}	0.465	-6	0.622	-6	0.111	-5	0.219	-5	0.421	-5	
10^{-3}	0.464	-5	0.620	-5	0.110	-4	0.218	-4	0.417	-4	
10^{-2}	0.460	-4	0.604	-4	0.105	-3	0.204	-3	0.388	-3	
10^{-1}	0.441	-3	0.533	-3	0.839	-3	0.150	-2	0.270	-2	
1	0.398	-2	0.401	-2	0.483	-2	0.679	-2	0.103	-1	
10	0.329	-1	0.295	-1	0.280	-1	0.287	-1	0.320	-1	
10^2	0.204	0	0.183	0	0.167	0	0.156	0	0.149	0	
10^3	0.696	0	0.664	0	0.636	0	0.613	0	0.594	0	
10^4	0.979	0	0.978	0	0.977	0	0.977	0	0.976	0	
10^5	0.982	0	0.982	0	0.982	0	0.982	0	0.983	0	

При малой оптической толщине эффективные сечения s, σ, s^*, σ^* стремятся к постоянным величинам, а $\varepsilon, \varepsilon^*$ становятся линейными функциями n_1

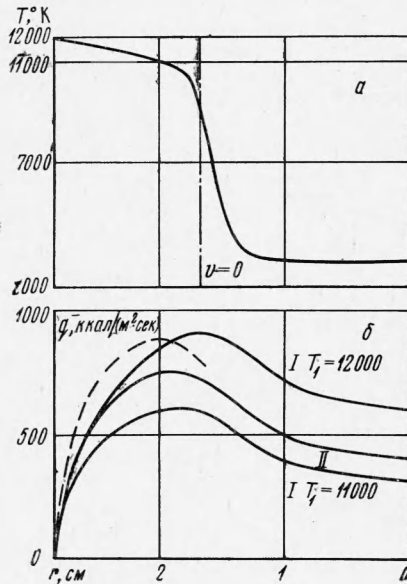
$$\sigma \rightarrow \sigma(T, 0), \quad \sigma^* \rightarrow 2\sigma(T, 0), \quad s \rightarrow s(T, 0), \quad s^* \rightarrow 2s(T, 0)$$

$$\varepsilon \rightarrow n_1\sigma(T, 0), \quad \varepsilon^* \rightarrow n_1\sigma^*(T, 0) = 2n_1\sigma(T, 0) = 2n_1\sigma_p \text{ при } n_1 \rightarrow 0$$

Для вычисления эффективных сечений воздуха во втором приближении использовалась линейная интерполяция (1.6), (1.8) с $T_1 = 11000^\circ \text{ К}$, $T_2 = 12000^\circ \text{ К}$.

Методом эффективных сечений решалась задача переноса излучения в ударном слое сферы, обтекающейся гиперзвуковым потоком воздуха. Расчеты проведены на критической линии при интенсивном вдуве газа через поверхность тела. Профиль скорости, нормальной к поверхности тела, принимался линейным. Методом прогонки решалось обыкновенное дифференциальное уравнение притока тепла с учетом теплопроводности, излучения и поглощения в одномерном приближении плоского слоя.

Сравним радиационный поток, вычисленный по методу эффективных сечений, с потоком, вычисленным точно, для профиля температуры в ударном слое, показанного на фиг. 2, а. Вертикальной штрих-пунктирной линией отмечена координата, при которой



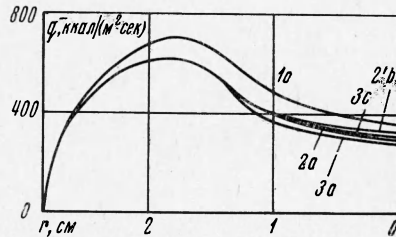
Фиг. 2

показан результат точного расчета, штриховыми — по методу эффективных сечений. Римской цифрой указан номер приближения и значение характерной температуры T_1 , для которой бралось сечение поглощения при расчете эффективных сечений в первом приближении. Во втором приближении $T_1 = 11\ 000^\circ\text{K}$, $T_2 = 12\ 000^\circ\text{K}$. Решение в первом приближении с $T_1 = 12\ 000^\circ\text{K}$ лучше приближается к точному расчету, чем с $T_1 = 11\ 000^\circ\text{K}$. Это объясняется тем, что $\sim 80\%$ радиационного потока создается внешней частью ударного слоя с температурой выше $11\ 500^\circ\text{K}$. Решение во втором приближении лежит между решениями в первом приближении с $T_1 = 11\ 000^\circ\text{K}$ и $T_2 = 12\ 000^\circ\text{K}$. Точность вычисления радиационного потока в первом приближении с $T_1 = 12\ 000^\circ\text{K}$ составляет 14% , а во втором — 20% . Однако картина изменения q^- по r во втором приближении лучше согласуется с точной, точка достижения максимума q^- во втором приближении лежит ближе к максимуму точной кривой, чем в первом приближении. Время счета одной итерации профиля температуры при использовании разностной схемы с 26 точками при точном вычислении q составляет 25 мин, а с использованием метода эффективных сечений — 13 сек, т. е. примерно в 120 раз меньше.

Исследование влияния шага таблиц эффективных сечений на точность счета радиационного потока q^- поперек ударного слоя представлено на фиг. 3. Использовались эффективные сечения в первом приближении для $T_1 = 11\ 000^\circ\text{K}$ с шагом по n_1 и T_1 , приведенным в табл. 2. Промежуточные значения определялись путем линейной интерполяции логарифмов эффективных сечений по логарифмам T и n_1 . Цифра и буква у кривых на фиг. 3 означает вариант расположения узловых точек таблицы эффективных сечений. Оптимальным является расположение узлов $2'b$, обеспечивающее погрешность не более 3% по сравнению с наиболее точным — $3c$. Оптимальная сетка имеет узловые значения по n_1 , меняющиеся в 10 раз, а по температуре $T_1 - 3000$, $T_1 - 2000$, $T_1 - 1000$, $T_1 + 1000$. Области газа с температурой ниже $T_1 - 3000^\circ\text{K}$ дают незначительный вклад в излучение, работают в основном на поглощение. Величина эффективных сечений при низких температурах не влияет на профиль радиационного потока. Табл. 1 имеет оптимальный шаг.

обращается в нуль скорость газа, нормальная к поверхности тела ($v = 0$). В окрестности этой линии находится пограничный слой, где существенны процессы вязкости, теплопроводности и диффузии. Смешение вдуваемого газа с воздухом внешнего потока, прошедшим ударную волну, происходит в этой же окрестности, толщина диффузионного слоя примерно совпадает с толщиной слоя теплопроводности. В рассматриваемой модели ударного слоя диффузия не учитывалась и предполагалось, что левее линии $v = 0$ находится воздух, правее — вдуваемый газ. Давление поперек ударного слоя предполагалось постоянным, равным 1 атм . В расчетах, представленных на фиг. 2—4, вдуваемый газ имеет оптические характеристики воздуха.

На фиг. 2, б представлена зависимость от координаты одностороннего радиационного потока $q^-(r)$ в сторону тела. Штриховой линией



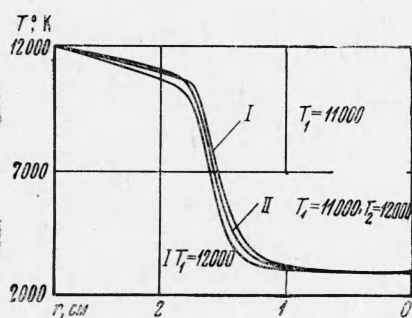
Фиг. 3

Ввиду сравнительно невысокой температуры воздуха $\sim 12\ 000^\circ\text{K}$ и небольшой величины испускаемой лучистой энергии по сравнению с энтальпией торможения профиль температуры слабо зависит от используемой спектральной модели. На фиг. 4 приведены профили температур, вычисленные с использованием эффективных сечений в первом и втором приближениях. Здесь же указаны значения использованных характерных температур T_1 , T_2 . Отличие температур на большей части ударного слоя не более 7% и превышает это значение в узкой зоне теплового пограничного слоя. Время счета ~ 1 мин, в то время как счет профиля температур точным методом требует затраты 2 час машинного времени. Таким образом, метод эффективных сечений можно применять для нахождения температурного профиля в задачах радиационной газовой динамики, а окончательное распределение радиационного потока проводить либо этим же, либо точным методом.

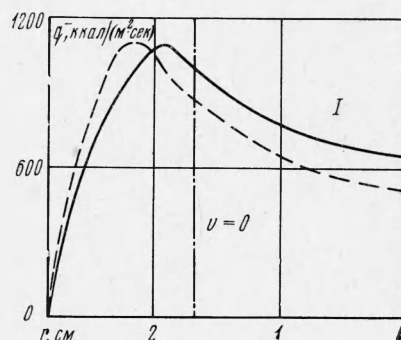
Таблица 2

T, °K				$10^{-12} n_1, \text{см}^{-2}$					
a	b	c		1	2	2'	3		
11 000	8 000	3 000	9 000	0	0	0	10	0	1
12 000	9 000	5 000	10 000	0.05	0.05	10^{-4}	10^2	0.05	2.5
	10 000	6 000	11 000	20	0.5	10^{-3}	10^3	0.1	5
	11 000	7 000	12 000		5	10^{-2}	10^4	0.25	10
	12 000	8 000			20	10^{-1}	10^5	0.5	20

На фиг. 5 приведено распределение радиационного потока $q^-(r)$ в ударном слое при вдуве газа с отличными от воздуха оптическими свойствами. Штриховой кривой показан точный профиль, сплошной — профиль, полученный с использованием первого приближения метода эффективных сечений для бинарной смеси воздух ($T_1 = 12000^\circ\text{K}$) — вдуваемый газ ($T_2 = 3000^\circ\text{K}$). Отличие радиационных потоков, поступающих к стенке, составляет 25%.



Фиг. 4



Фиг. 5

Автор благодарит Г. А. Тирского за руководство работой и Э. С. Филиппову за помощь в проведении расчетов.

Поступила 17 V 1972

ЛИТЕРАТУРА

1. Penner S. S., Quantitative molecular spectroscopy and gas emissivities. Addison — Wesley Publishing Company, Inc. Reading, Massachusetts, London, 1959. (Рус. перев.: Количественная молекулярная спектроскопия и излучательная способность газов. М., Изд-во иностр. лит., 1963.)
2. Каменщиков В. А., Пластинин Ю. А., Николаев В. М., Новичкин Л. А. Радиационные свойства газов при высоких температурах. М., «Машиностроение», 1971.